**XUMUS** 

## В. К. ВОРОНКОВА, Ю. В. ЯБЛОКОВ, М. М. ЗАРИПОВ, академик АН МССР А. В. АБЛОВ

## ПАРАМАГНИТНЫЙ РЕЗОНАНС Cu(II) В ТЕТРАЭДРИЧЕСКОМ Zn(NCS)<sub>2</sub>Py<sub>2</sub>

Известно лишь несколько работ, касающихся исследований Cu(II) в тетраэдрическом окружении ( $^{1-6}$ ). Поэтому в настоящее время невозможно а priori делать какие-либо заключения о таких важных свойствах комплексов, как характер расщеплений d-уровней в полях различной симметрии или о природе нижнего состояния и присущих ему констант спектроскопического и сверхтонкого расщеплений. Больше того, отсутствие центра симметрии в тетраэдре допускает в принципе примешивание возбужденных 4s- и 4p-конфигураций к основному терму, однако величина этого эффекта также требует конкретного анализа.

В этих условиях каждое новое исследование тетраэдрических комплек-

сов меди приобретает особый интерес.

Мы сообщаем здесь результаты изучения э.п.р. и оптических спектров ионов Cu(II), внедренных в матрицу Zn(NCS)<sub>2</sub>Py<sub>2</sub>. В индивидуальном соединении Cu(NCS)<sub>2</sub>Py<sub>2</sub> медь имеет октаэдрическую координацию (<sup>7</sup>), однако опыт показывает, что при совместной кристаллизации этих веществ (Cu: Zn = 1:50) ионы меди занимают места ионов Zn, имеющих тетраэдрическое окружение (8). Э.п.р. приготовленных таким образом мелкокристаллических образцов был изучен в области температур от 300 до 77° K на спектрометре с v ≈ 36 кМгц. Спектр э.п.р. двухвалентного иона меди, внедренного в  $Zn(NCS)_2Py_2$  при  $T=77^{\circ}$  K состоит из четырех сигналов I-IV (рис. 1). Существенное различие в температурной зависимости двух групп сигналов I, III и II, IV (с повышением температуры разрешение сигналов I, III ухудшается и при комнатной температуре наблюдаются только сигналы II, IV) и изменение соотношения между интенсивностями этих групп сигналов при разных синтезах данного соединения указывают на существование двух видов парамагнитных центров. Для понимания природы этих центров были измерены спектры э.п.р. соединения Cu(NCS) 2Py2. Полное совпадение величин g-факторов и формы сигналов э.п.р. для  $Cu(NCS)_2 Py_2$  с группой линий II, IV (рис. 1) при T=300 и  $77^\circ$  K позволило приписать эти линии механической примеси исходных комплексов меди. Из этого следует, что интересующий нас спектр э.п.р. Cu(II) в тетраэдрическом окружении состоит из сигналов I и III. В соответствии с теорией о форме линий в поликристаллических образцах со спином S= $= \frac{1}{2} (9, 10)$  вид данного спектра указывает на осевую симметрию окружения иона меди с параметрами спин-гамильтониана:  $g_{\parallel} = 2,400 \pm 0,002;$  $g_{\perp}=2,162\pm0,02;\;|A_{\parallel}|=68,7\cdot10^{-4}\;{
m cm}^{-1}.$  Хотя в перпендикулярном переходе с.т.с. не разрешается, из ширины линии можно оценить величину расщеплений  $|A_{\perp}| \le 16 \cdot 10^{-4}$  см $^{-4}$ . Необходимо обратить внимание на большую величину д-фактора для изученного соединения по сравнению как с октаэдрическими (11) так и известными примерами тетраэдрических структур (1-6). Кроме того, хотя параметры сверхтонкой структуры, полученные для Cu(II) в Zn(NCS) 2 Ру2 значительно меньше, чем характерные для октаэдрической меди (11), среди данных по с.т.с. для описанных тетраэдрических структур (1-5) они занимают промежуточное положение.

Электронный спектр отражения исследуемого соединения, записанный па Unicam SP-700 при комнатной температуре в диапазоне от 25000 до  $7000 \, \, \mathrm{cm^{-1}}$ , показан на рис. 2. Для сравнения дан электронный спектр  $\mathrm{Cu\,(NCS)_2Py_2}$ , полученный при тех же условиях. Так как энергия d-d-переходов в тетраэдрическом соединении должна быть меньше, чем соответствующая энергия в поле симметрии  $O_h$  ( $\sim 16000 \, \, \mathrm{cm^{-1}}$ ), из электронного спектра для меди в  $\mathrm{Zn\,(NCS)_2Py_2}$  только полоса с центром в  $10000 \, \, \mathrm{cm^{-1}}$  отнесена к области d-d-переходов.

Ион двухвалентной меди, имеющий основную конфигурацию  $3d^9$ , может быть описан одной положительной дыркой в базисе пяти d-орбит.

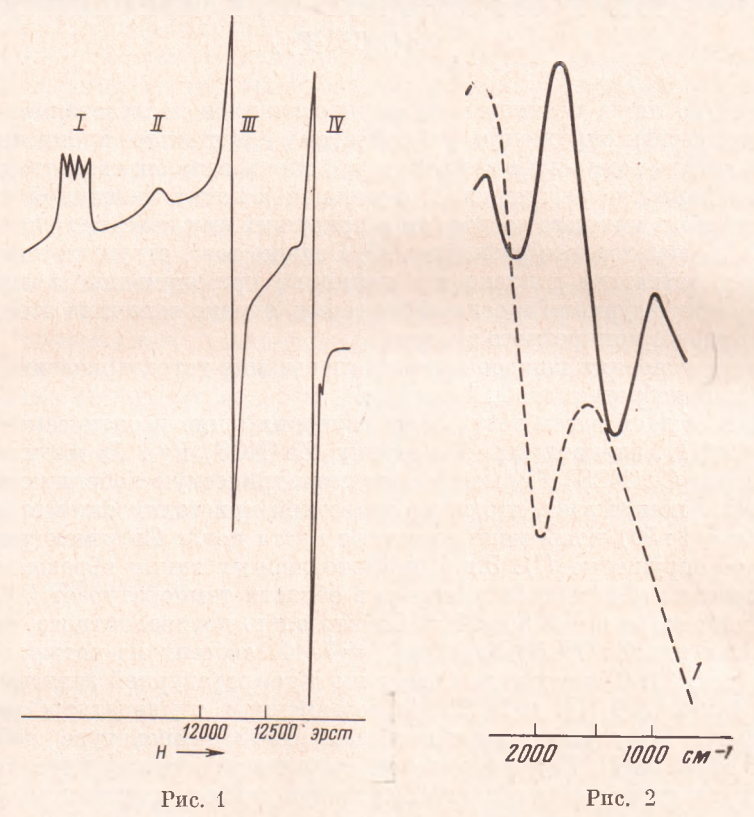


Рис. 1. Спектр э.п.р. Cu(II), внедренного в Zn(NCS)  $_2$ Ру $_2$ при  $T=-77^\circ$  K (v = 36 кМгц)

Рис. 2. Электронные спектры отражения  $Cu(NCS)_2Py_2$  (1) и Cu(II) (2) в  $Zn(NCS)_2Py_2$  при комнатной температуре

В правильном тетраэдре (точечная группа  $T_d$ ) d-орбиты расщепляются на нижний триплет ( $d_{xy}$ ,  $d_{xz}$ ,  $d_{yz}$ ) и верхний дублет  $d_{x^2-y^2}$ ,  $d_{z^2}$  (ось Z — по оси  $C_2$ ). При тетрагональном искажении вдоль оси  $C_2$  происходит дальнейшее расщепление и в зависимости от знака искажения нижним оказывается или уровень  $d_{xy}$ , или дублет  $d_{xz,yz}$ . При тригональных искажениях ось Z направляют по  $C_3$  и основным состоянием может быть уровень  $d_{z^2}$  или дублет

$$\left(rac{\sqrt{2}}{\sqrt{3}}|d_{xy}\rangle+rac{1}{\sqrt{3}}|d_{yz}
angle,rac{\sqrt{2}}{\sqrt{3}}|d_{x^2-y^2}
angle-rac{1}{\sqrt{3}}|d_{xz}
angle\langle^2
ight)
ight).$$

Анализ результатов э.п.р. исследования Cu(II) в  $Zn(NCS)_2 Py_2$  указывает на тетрагональное искажение тетраэдра с основным состоянием  $d_{xy}$  (сплющенный тетраэдр). Это дает основание описывать симметрию изученной системы точечной группой  $D_{2d}$ . Свойства преобразования d-орбит

при симметрии  $D_{2d}$  показывают, что  $d_{xy}$ ,  $d_{xz}$ ,  $d_{yz}$ ,  $d_{z^2}$  могут образовывать о-связи и все d-орбиты способны вступать в л-связи с соответствующими линейными комбинациями орбит лигандов. Для полного теоретического рассмотрения тетраэдрических молекул, у которых отсутствует дентр инверсии, необходимо учитывать возможность смешивания d-орбит с 4p-состояниями, которые у элементов первого переходного периода расположены примерно на 10<sup>5</sup> см<sup>-1</sup> выше, чем *d*-орбиты (12). С учетом этих свойств волновые функции иона меди для симметрии  $D_{2d}$  могут быть записаны следующим образом:

$$\begin{split} & \psi_{1} = N_{1} | 3d_{xy} \rangle + k_{1} | P_{z} \rangle + N_{1} \chi_{1}, \\ & \psi_{2} = N_{2} | 3d_{xz} \rangle + k_{2} | P_{y} \rangle + N_{2} \chi_{2}, \\ & \psi_{3} = N_{3} | 3d_{yz} \rangle + k_{3} | P_{x} \rangle + N_{3} \chi_{3}, \\ & \psi_{4} = N_{4} | 3d_{z^{2}} \rangle + k_{4} | 4s \rangle + N_{4} \chi_{4}, \\ & \psi_{5} = N_{5} | 3d_{x^{2} - y^{2}} \rangle + (1 - N_{5}^{2})^{1/2} \chi_{5}, \end{split}$$

$$(1)$$

 $\chi_i$  —линейные комбинации функций лигандов,  $|P_i\rangle$  — функции  $3d^84p$ -конфигурации,  $|4s\rangle$  — примесь  $3d^84s$ -конфигурации. Так как мы используем симметрию  $D_{2d}$ , то  $N_2 = N_3$ ,  $k_2 = k_3$ .

Параметры спин-гамильтониана, вычисленные на этих функциях, име-

ют следующий вид:

$$g_{\parallel} = 2 + \frac{8N_{1}^{2}N_{4}^{2}\lambda_{d}}{\Delta_{1}}, g_{\perp} = 2 + \frac{2(N_{1}N_{2}\lambda_{d} - k_{1}k_{2}\lambda_{p})(N_{1}N_{2} - k_{1}k_{2})}{\Delta_{2}}, (2)$$

$$A_{\parallel} = -k_{0}(N_{1}^{2}P_{d} + k_{1}^{2}P_{p}) + P_{d}\left[(-\frac{4}{7})N_{1}^{2} + (g_{\parallel} - 2) + \frac{3}{7}\frac{(g_{\perp} - 2)N_{1}N_{2}}{N_{1}N_{2} - k_{1}k_{2}}\right] + P_{p}\left(\frac{4}{5}k_{1}^{2} + \frac{3}{5}\frac{(g_{\perp} - 2)k_{1}k_{2}}{N_{1}N_{2} - k_{1}k_{2}}\right),$$

$$A_{\perp} = -k_{0}(N_{1}^{2}P_{d} + k_{1}^{2}P_{p}) + P_{d}\left(\frac{2}{7}N_{1}^{2} + \frac{11}{44}\frac{(g_{\perp} - 2)N_{1}N_{2}}{N_{1}N_{2} - k_{1}k_{2}}\right) + P_{p}\left(-\frac{2}{5}k_{1}^{2} - \frac{(g_{\perp} - 2)k_{1}k_{2}}{N_{1}N_{2} - k_{1}k_{2}}\right),$$

где  $\lambda_d$  и  $\lambda_p$  — параметры спин-орбитальной связи, равные 829 и 925 см<sup>-1</sup> соответственно;  $P_{d, p} = 2\gamma \mu_0 \mu_N \langle r^{-3} \rangle_{3d, 4p}$  (13),  $k_0$  — контактный параметр с.т.с., который имеет для Cu(II) величину порядка  $0.3 \pm 0.05$  (13),  $\Delta_{1,2}$  — величины расщепления между основным состоянием и  $d_{x^2-y^2}$  и  $d_{xz,\ yz}$  соответственно. На основании спектра отражения величина  $\Delta_1$  берется равной  $\sim 10000 \text{ cm}^{-1}$ , а переход  $d_{xz, yz} \rightarrow d_{xy}$  предполагается расположенным в области < 7000 см $^{-1}$ .

Задача заключается в том, чтобы, опираясь на экспериментальные данные, найти параметры  $N_1$ ,  $N_2$ ,  $N_4$ ,  $k_1$ ,  $k_2$ , наилучшим образом описывающие

исследуемую систему.

Первоначально мы рассмотрели возможность описания изученной системы без учета примесей p-состояний и получили, что при  $k_i = 0$  экспериментальные результаты удовлетворительно описываются набором параметров:  $k_0=0.41;\,N_1=0.82;\,N_2=0.85;\,N_4=0.95;\,\Delta_2=5000$  см $^{-1}$ . Анализ изменений этих параметров и соотношений между ними при различных величинах примесей р-состояний показал, что несколько завышенная величина контактного члена  $k_0$  может быть уменьшена до 0,35, если считать  $k_1 = 0,20$ (при этом  $N_1 = N_2 = 0.86$ ;  $N_4 = 0.90$ ;  $\Delta_2 = 5000$  см<sup>-1</sup>). Параметр  $k_2$  слабее влияет на теоретические величины д и А, поэтому оценить примесь к дублету  $d_{xz, yz}$  трудно. Из геометрических соображений (1) можно только предполагать, что эта примесь не меньше, чем примесь к уровню  $d_{xy}$ .

Итак, изучение э.п.р. Cu(II) в Zn(NCS) 2Py2, с одной стороны, показало, что тетраэдр, образованный атомами азота, сжат по оси  $C_2$ , с другой стороны, дало новый пример поведения иона меди в поле искаженного тетраэдра. Следует отметить, что найденная для данного соединения величина примеси верхних конфигураций невелика и не оказывает существенного влияния на электронные свойства пона меди, как это имело место, например, в (¹). Однако объяснение экспериментальных величин g и A невозможно без учета степени ковалентности связи металл—лиганд.

Небольшая величина примеси, полученная для изученного соединения на основании данных э.п.р., неплохо согласуется с величиной  $k_1$ , оценен-

ной для нашего случая из формулы Бейтса (1):

$$k = a \sqrt{m} 9p \sqrt{m} \frac{3d^{\langle r^3 \rangle} 4p}{3d^{\langle r^4 \rangle} 3d} \frac{\sqrt{5}}{35} \frac{\Delta_1}{\Delta'}, \tag{3}$$

в которой a — длина связи с лигандами,  $\Delta'$  — интервал между  $3d^9$ — и  $3d^84p$ -конфигурациями, p и m характеризуют степень сжатия по оси Z. Предполагая что в  $Zn(NCS)_2Py_2$  сжатие по оси Z не меньше, чем в  $Cu(DPM)_2$  (1), мы получили за счет уменьшения расщепления параметр  $k_1 = 0,27$  пс сравнению с 0,45 для  $Cu(DPM)_2$ .

Авторы приносят благодарность М. А. Абловой за помощь в проведении

экспериментальной части работы.

Казанский физико-технический институт Академии наук СССР Поступило 6 II 1973

Институт химии Академии наук МССР Кишинев

## ЦИТИРОВАННАЯ ЛИТЕРАТУРА

¹ C. A. Bates, W. S. Moore et al., Proc. Phys. Soc., 79, 73 (1962). ² C. A. Bates, Proc. Phys. Soc., 83, 465 (1964). ³ M. Sharnoff, J. Chem. Phys., 1, 2203 (1964). ⁴ I. Siegel, J. A. Lorenc, J. Chem. Phys., 45, 2315 (1966). ⁵ G. ¹. Kokoszka C. W. Reimann, H. C. Allen, J. Phys. Chem., 71, 121 (1967). ⁶ ˚ ſ. K. Voronkova, M. M. Zaripov et al., Phys. Stat. Sol., (b), 55, 747 (1973). ¹ M. A. Порай-Кошиц, Г. Н. Тищенко, Кристаллография, 4, 239 (1959). ¹ D. P. Graaddon, J. Chem. Educ., 47, 711 (1970). ˚ R. H. Sands, Phys. Rev., 99, 1222 (1955). ¹ O. R. Neiman, D. Kivelson, J. Chem. Phys., 35, 156 (1961). ¹ ¹ C. A. Альтшулер, Б. М. Козырев, Электронный парамагнитный резонанс соединений элементов промежуточных групп, второе изд., «Наука», 1972. ¹ ² К. Бальхаузен, Введение в теорию поля лигандов, М., 1964. ¹ ³ A. Abragam, J. Horowitz, M. H. L. Pryce, Proc. Roy. Soc., 230, 169 (1955).